

УДК 537.611.2 : 537.611.3

© 1990

ДИНАМИЧЕСКИЙ СКОС МАГНИТНЫХ ПОДРЕШЕТОК В МАГНИТНОМ ПОЛЕ И СПИНОВЫЕ ВОЛНЫ В РЕДКОЗЕМЕЛЬНЫХ ОРТОФЕРРИТАХ С ДОМЕННОЙ СТРУКТУРОЙ

М. А. Шамсутдинов, М. М. Фарзтдинов, Е. Г. Екомасов

Теоретически исследован спектр спиновых волн в редкоземельных ортоферритах с доменной структурой в магнитном поле, параллельном оси b . Рассмотрены эффекты, обусловленные динамическим скосом магнитных подрешеток вблизи ориентационных фазовых переходов в ДГ в магнитном поле. Изучена зависимость от внешнего магнитного поля радиационного затухания осциллирующей «линии» в ДГ из-за генерации внутриграницных магнонов.

1. Доменная структура оказывает сильное влияние на спектр спиновых волн в редкоземельных ортоферритах РЗО [1, 2]. Причем частотный спектр в отсутствие внешнего магнитного поля сильно зависит от структуры доменной границы (ДГ) [1, 3] и от характера спонтанных ориентационных фазовых переходов (ОФП) в ней. Наиболее чувствительной к ориентационным фазовым переходам в ДГ является частота антиферромагнитной ветви внутриграницных колебаний намагниченностей подрешеток, т. е. пульсационной моды [4, 5]. Ориентационный фазовый переход происходит с обращением в нуль активации (энергетической щели) пульсационной моды [1, 3-5]. В магнитном поле может происходить изменение симметрии ДГ в основном состоянии, т. е. произойти ОФП в ДГ путем фазовых переходов как первого, так и второго родов [4]. В антиферромагнетиках имеет место динамическое изменение вектора ферромагнетизма m гироскопического вида [6], т. е. $\Delta m_G \sim [1, \dot{1}]$, где $\dot{1}$ — вектор антиферромагнетизма. Существование такого Δm_G приводит к изменению векторов намагниченности магнитных подрешеток. Это явление в дальнейшем назовем динамическим скосом магнитных подрешеток. Динамический скос магнитных подрешеток при приложении внешнего магнитного поля приводит к появлению в функции Лагранжа чисто гироскопического слагаемого [6]. При этом в отношении динамических свойств может иметь место нарушение симметрии основного состояния. Эффекты, обусловленные этим явлением, исследованы теоретически и экспериментально в диспрозиевом ортоферрите [7] при спиновой переориентации в магнитном поле $\mathbf{H} \parallel \mathbf{a}$ только в однородно намагниченном образце. В настоящей работе исследуется спектр спиновых волн в магнитном поле \mathbf{H} , параллельном оси b , в РЗО с доменной структурой. Изучаются последствия нарушения симметрии в магнитном поле из-за динамического скоса магнитных подрешеток в области ОФП в доменной границе. Кроме того, исследуется поляная зависимость радиационного затухания осциллирующей «линии» без поворота m в ДГ, также обусловленная динамическим скосом магнитных подрешеток.

В фазе $G_c F_c$, выбирая полярную ось вдоль a -оси кристалла, вектор антиферромагнетизма в угловых переменных в дальнейшем удобно пред-

ставить так $\mathbf{l} = l (\mathbf{n}_x \cos \theta + \mathbf{n}_y \sin \theta \sin \varphi + \mathbf{n}_z \sin \theta \cos \varphi)$, где $\mathbf{n}_x, \mathbf{n}_y, \mathbf{n}_z$ — единичные орты вдоль соответствующих осей координат. Тогда в случае одномерной ДГ в основном состоянии $\theta = \theta_0(y)$, $\varphi = \varphi_0$, где $\varphi_0 = 0$ соответствует ДГ с поворотом, а $\varphi_0 = \pi/2$ — ДГ без поворота \mathbf{m} [4]. В случае второго типа ДГ вектор ферромагнетизма перпендикулярен плоскости поворота (ab) вектора антиферромагнетизма, т. е. $\mathbf{m}_0 = m \cdot \mathbf{n}_z \cos \theta_0$, $\mathbf{l}_0 = l (\mathbf{n}_x \cos \theta_0 + \mathbf{n}_y \sin \theta_0)$. В случае малых колебаний $\mathbf{l} = \mathbf{l}_0 + \Delta \mathbf{l}$, $\mathbf{m} = \mathbf{m}_0 + \Delta \mathbf{m}$ трансляционная мода ДГ без поворота \mathbf{m} характеризуется отличными от нуля компонентами $\Delta l_x, \Delta l_y, \Delta m_x$, а пульсационная мода — компонентами $\Delta l_x, \Delta m_x$. Симметрия трансляционной моды колебаний совпадает с симметрией основного состояния ДГ. Из-за динамического скоса магнитных подрешеток может оказаться, что в магнитном поле симметрия колебаний ни одной из мод не совпадает с симметрией основного состояния. Например, при \mathbf{H} , параллельном \mathbf{b} -оси, колебания каждой из двух внутриграничных мод характеризуются отличными от нуля компонентами $\Delta l_x, \Delta l_y, \Delta l_z, \Delta m_x, \Delta m_y$, т. е. суперпозицией мод. Ниже перейдем к расчету спектра спиновых волн.

2. Рассмотрим РЗО во внешнем магнитном поле $\mathbf{H} \parallel \mathbf{b}$, при котором вектора ферро- и антиферромагнетизма удовлетворяют условию $m^2 \ll l^2 \approx 1$. При изучении спектра спиновых волн будем исходить из уравнений для функции Лагранжа, полученного, ограничиваясь во взаимодействии Дзялошинского вкладом антисимметричного обмена [3, 6],

$$L = \frac{A}{2c^2} \dot{\mathbf{l}}^2 - \gamma \frac{A H}{c^2} [\dot{\mathbf{l}}]_y - \frac{A}{2} (\nabla \mathbf{l})^2 + \frac{K_{ab}}{2} l_x^2 + \frac{K_{cb}}{2} l_y^2 - \frac{\chi_{\perp}}{2} H^2 l_y^2, \quad (1)$$

где c — минимальная фазовая скорость объемных спиновых волн, A — параметр неоднородного обмена, γ — гиромангнитное отношение; K_{ab} и K_{cb} — эффективные константы анизотропии в (ab) и (cb) плоскостях; $\chi_{\perp} = M_0/H_E$, M_0 — намагниченность насыщения подрешеток, H_E — обменное поле. Второе слагаемое в (1) — член гироскопического вида — обусловлен динамическим скосом магнитных подрешеток, который может привести в отношении динамических свойств к нарушению симметрии основного состояния.

Переходя к угловым переменным вектора антиферромагнетизма положим $\theta = \theta_0(\xi) + v_1(\xi) [\exp i(\mathbf{k}_{\perp} \mathbf{r}_{\perp} - \omega t)]$, $\varphi = \varphi_0 + v_2(\xi) \exp [i(\mathbf{k}_{\perp} \mathbf{r}_{\perp} - \omega t)] / \sin \theta_0$. Здесь \mathbf{k}_{\perp} — двухмерный волновой вектор в плоскости ДГ; v_1, v_2 — малые отклонения от основного состояния ДГ

$$\sin \theta_0 = \text{ch}^{-1} \xi, \quad \xi = y/\delta, \quad \delta = \{A/[K_{ab} - K_{cb} \cos^2 \varphi_0 + \chi_{\perp} H^2 \sin^2 \varphi_0]\}^{1/2}, \quad (2)$$

с энергией $\sigma_n = 2A/\delta$, где $\varphi_0 = 0, \pi/2$. В случае $K_{cb} < 0$ с ростом поля происходит переход ДГ без поворота \mathbf{m} в ДГ с поворотом \mathbf{m} при некотором его критическом значении, равном $H_n = (|K_{cb}|/\chi_{\perp})^{1/2}$ [4]. Линеаризация уравнений Эйлера—Лагранжа вблизи (2) приводит к системе уравнений

$$\begin{aligned} \hat{H} v_1 + \delta^2 c^{-2} (\omega^2 - \omega_{1n}^2) v_1 - 2i \omega \gamma H \delta^2 c^{-2} \sin \varphi_0 \text{ch}^{-1} \xi v_2 &= 0, \\ \hat{H} v_2 + \delta^2 c^{-2} (\omega^2 - \omega_{2n}^2) v_2 + 2i \omega \gamma H \delta^2 c^{-2} \sin \varphi_0 \text{ch}^{-1} \xi v_1 &= 0. \end{aligned} \quad (3)$$

Здесь $\hat{H} = -d^2/d\xi^2 + 1 - 2\text{ch}^{-2} \xi$ — оператор Шредингера с известными собственными функциями и значениями: $\psi_{10} = 1/\sqrt{2} \text{ch} \xi$, $\lambda_{10} = 0$; $\psi_{20} = (th \xi - ix) \exp(ix\xi)/\sqrt{1+x^2}$, $\lambda_{20} = 1+x^2$, $x = k_y \delta$, k_y — третья компонента волнового вектора. Частоты ω_{j0} в (3) равны

$$\omega_{10} = (\gamma/2M_0) \{B(R + Ak_{\perp}^2)\}^{1/2}, \quad (4)$$

$$\omega_{20} = (\gamma/2M_0) \{B[(K_{cb} + \chi_{\perp} H^2) \cos 2\varphi_0 + Ak_{\perp}^2]\}^{1/2}, \quad (5)$$

где $B = 4M_0 H_E$, R — параметр, введенный для учета квазиупругости ДГ [1]. При $H = 0$ выражения (4) и (5) определяют спектр частот внутри-

граничных колебаний намагниченности [1] («трансляционной» — $\omega_{1\omega}$ и «пульсационной» — $\omega_{2\omega}$ мод).

Решение системы уравнений (3) будем искать в виде

$$v_j(\xi) = a_{j\omega}^{(j)} \psi_{j\omega} + \int_{-\infty}^{+\infty} a_{j\omega}^{(l)} \psi_{j\omega} dz \quad (j=1, 2). \quad (6)$$

Пользуясь ортогональностью собственных функций H , систему (3) можно привести к виду

$$\begin{aligned} (\omega^2 - \omega_{j\omega}^2) a_{j\omega}^{(j)} - \omega D_l \sin \varphi_{ll} \left(a_{j\omega}^{(l)} + \int_{-\infty}^{+\infty} a_{j\omega}^{(l')} I_{j\omega} dz \right) = 0, \\ [\omega^2 - \omega_{j\omega}^2 - c^2(1 + x^2)/\delta^2] a_{j\omega}^{(j)} - \omega D_l \sin \varphi_{ll} \times \\ \times \left(a_{j\omega}^{(l)} I_{j\omega}^* + \int_{-\infty}^{+\infty} a_{j\omega}^{(l')} I_{j\omega} dz' \right) = 0, \end{aligned} \quad (7)$$

где

$$\begin{aligned} l=1, 2 \quad (l \neq j), \quad D_1 = D_2^* = i\omega_H, \quad \omega_H = \gamma\pi H/2, \\ I_x = \frac{2\sqrt{2}(1-i)x^2}{\sqrt{1+x^2} \operatorname{sh}(\pi x/2)}, \quad I_{x'x'} = \frac{2(1+x^2+x'^2)}{\sqrt{1+x^2}(1+x'^2)} \frac{1}{\operatorname{ch}[\pi(x-x')/2]}. \end{aligned} \quad (8)$$

Сначала рассмотрим случай полей $H \geq H_n$, когда устойчива ДГ с поворотом \mathbf{m} . Тогда, как следует из (7), спектр внутриграничных возбуждений определяется выражениями (4) и (5), где $\varphi_0=0$. Вблизи точки потери устойчивости ДГ ($H \rightarrow H_n$) частота «пульсационной» моды $\omega_2 = \omega_{2\omega}$ ($k_{\perp}=0$) $\rightarrow 0$.

Спектр объемных спиновых волн, как следует из второго уравнения (7), определяется выражениями

$$\omega_{1d}(\gamma/2M_0) [B(K_{ab} - K_{cb} + Ak^2)]^{1/2}, \quad \omega_{2d} = (\gamma/2M_0) [B(K_{ab} + \gamma_{\perp} H^2 + Ak^2)]^{1/2}. \quad (9)$$

Из (5) и (9) следует, что $\omega_2^2 = \omega_{2d}^2 - \omega_{1d}^2$. В точке потери устойчивости ДГ с поворотом \mathbf{m} частоты квазиферромагнитной ω_{1d} и антиферромагнитной ω_{2d} мод, как показано в [5], пересекаются. Это подтверждается экспериментальными данными по исследованию антиферромагнитного резонанса в диспрозиевом ортоферрите [8] при $T \sim 150$ К. В магнитном поле $H \rightarrow H_n$ эта особенность в поведении частот сохраняется. В этой связи представляет интерес проведение экспериментальных исследований зависимости точки пересечения частот ω_{1d} и ω_{2d} от внешнего магнитного поля. В диспрозиевом ортоферрите, согласно (9), эта точка пересечения должна смещаться в сторону более низких температур, где $K_{cb} = K_{ab} - K_{ac} < 0$ [8].

3. В полях $H < H_n$, когда устойчива ДГ без поворота \mathbf{m} ($\varphi_0 = \pi/2$), аналитически точно определить спектр частот не удается. В дальнейшем рассмотрим ситуацию, когда частоты и поля удовлетворяют условию

$$\gamma\omega H \ll c^2/\delta^2. \quad (10)$$

При этом можно выделить два случая. Во-первых,

$$\omega^2 - \omega_{j\omega}^2 \sim c^2(1+x^2)/\delta^2, \quad (11)$$

во-вторых,

$$\omega^2 - \omega_{j\omega}^2 \ll c^2(1+x^2)/\delta^2. \quad (12)$$

Определим частоты, удовлетворяющие условию (10) и (11). Тогда вкладом интегральных слагаемых в (7), пропорциональных D_l , в спектр можно пренебречь. В результате для спектра объемных спиновых волн снова получим выражения (9).

При выполнении условий (10), (12) из (7) можно получить следующее дисперсионное уравнение, определяющее спектр связанных колебаний пульсационной и трансляционной мод ДГ:

$$[\omega^2(1+\varepsilon) - \omega_{1w}^2][\omega^2(1+\varepsilon) - \omega_{2w}^2] - \omega^2\omega_H^2 \sin^2 \varphi_0 = 0, \quad (13)$$

где

$$\varepsilon = \bar{f} (\omega_H \delta / c)^2, \quad \bar{f} = 2 \int_0^\infty \frac{|I_x|^2}{1+x^2} dx.$$

В полях $H \leq H_n$ параметр $\varepsilon \ll 1$.

Оценки показывают, что условия (10)–(12) хорошо выполняются при $K_{ab} \gg |K_{cb}|$, R . Такая ситуация в РЗО имеет место вдали от точки фазового перехода $G_y \rightarrow G_x F_x$ [9] и вблизи области фазовых переходов в ДГ, обнаруженных в диспрозиевом [11] и гольмий-диспрозиевом [11] ортоферритах.

Все результаты получены без учета в энергии анизотропии слагаемых $(a'_1 l_x^2 + a'_2 l_x^2 l_y^2 + a'_3 l_x^4)/4$. При $a'_i/K_{ab} \ll 1$ нетрудно найти решение для основного состояния, пренебрегая слабой зависимостью φ_0 от координаты ξ в области ОФП второго рода в ДГ [4], а затем определить спектр связанных колебаний пульсационной и трансляционной мод. Результаты вычислений приводят к тому, что в (13) частота ω_{2w} становится равной

$$\omega_{2w} = (\gamma/2M_0) \{B [(K_1(H) + 2K_2 \sin^2 \varphi_0) \cos 2\varphi_0 + K_2 \sin^2 2\varphi_0 + Ak_{\perp}^2]\}^{1/2}, \quad (14)$$

$$K_1(H) = K_{cb} - a'_2/6 - 2a'_3/3 + \chi_{\perp} H^2, \quad K_2 = a'_3/3.$$

В случае $a'_3 < 0$ ОФП в ДГ происходит путем фазового перехода первого рода при $H_n = (|K_1 + 2K_2|/\chi_{\perp})^{1/2}$, а если $a'_3 > 0$ — путем двух фазовых переходов второго рода в интервале полей $H_{n1} \leq H \leq H_{n2}$ через состояние, определяемое уравнением $\sin^2 \varphi_0 \approx -K_1(H)/2K_2$, где $H_{n1} (\varphi_0 = \pi/2) = (|K_1 + 2K_2|/\chi_{\perp})^{1/2}$, $H_{n2} (\varphi_0 = 0) = (|K_1|/\chi_{\perp})^{1/2}$.

Отметим, что закон дисперсии ω_{1w} в (4) соответствует учету магнитостатической энергии в приближении Винтера. В приближении Слонзуского [12] частота ω_{1w} в (13) принимает вид

$$\omega_{1w} (\gamma/2M_0) [B (Ak_{\perp}^2 + R + 2\pi m_s^2 k_x^2 \delta / k_{\perp})]^{1/2}, \quad (15)$$

где $m_s = M_0 H_D / H_E$, H_D — поле Дзялошинского.

Вблизи точки фазового перехода второго рода в ДГ $H \rightarrow H_{n1}$ в длинноволновом приближении ($\omega_1 = \omega_{1w}(0) < \omega_2 \leq ck_{\perp} \ll \omega_H$) в фазе $\varphi_0 = \frac{\pi}{2}$ из (13) следует, что

$$\omega_1 = (2\gamma H_E / \pi H M_0) [(R + Ak_{\perp}^2 + 2\pi m_s^2 k_x^2 \delta / k_{\perp}) (|K_1 + 2K_2| - \chi_{\perp} H^2 + AK_{\perp}^2)]^{1/2}, \quad (16)$$

$$\omega_{1I} = (\gamma/2M_0) [B (|K_1 + 2K_2| - (1 - \pi^2/4) \chi_{\perp} H^2 + R + 2\pi m_s^2 k_x^2 \delta / k_{\perp} + 2Ak_{\perp}^2)]^{1/2}. \quad (17)$$

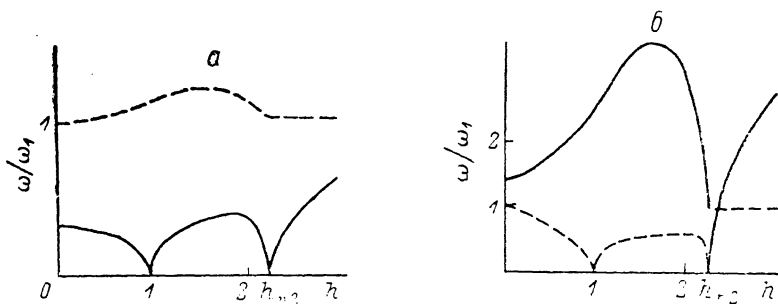
Проанализируем зависимость частот от магнитного поля при $R \rightarrow 0$. Из (17) видно, что при подходе к точке потери устойчивости ДГ без поворота m ($H \rightarrow H_{n1}$) частота однородных внутриграницных колебаний, соответствующая квазипульсационной моде, не обращается в нуль, а стремится к величине

$$\omega_{1I}(0) = \pi\gamma H_{n1}/2. \quad (18)$$

При этом закон дисперсии квазитрансляционной моды (16) отличается от закона дисперсии трансляционной моды (15).

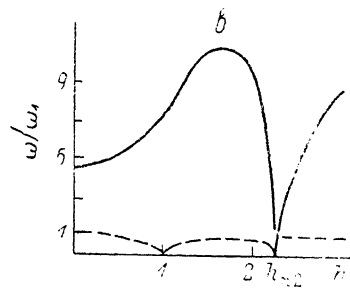
Таким образом, если в отсутствие внешнего магнитного поля ОФП в ДГ происходит с уменьшением и обращением в нуль активации пульсационной моды ДГ, то во внешнем магнитном поле $\mathbf{H} \parallel \mathbf{b}$ возникают связанные колебания пульсационной и трансляционной мод. На смену пульсационной моде приходит квазипульсационная мода: при подходе к точке ОФП появляется щель, соответствующая однородным колебаниям магнитных моментов подрешеток в ДГ относительно внешнего магнитного поля. При этом происходит размягчение другой моды, а именно квазитрансляционной. Фазовая скорость изгибных волн вдоль ДГ, соответствующая этой моде, при $k_x, k_z \rightarrow 0$, $R \rightarrow 0$ стремится к нулю.

Отмеченные выше особенности спектра внутриграничных спиновых волн при $R \rightarrow 0$ похожи на те, которые существуют вблизи точек ориентационных фазовых переходов в кристаллах при учете магнитоупругого взаимодействия [13]. Однако имеются также существенные отличия. Во-первых, ориентационный фазовый переход в ДГ и нарушение вращательной симметрии ДГ вызываются одним и тем же взаимодействием, т. е. внешним магнитным полем. Во-вторых, симметрия квазипульсационной и квазитрансляционной мод при $0 < H < H_{n2}$ совпадает, а отличие от нуля щели квазипульсационной моды в точке ОФП $H = H_{n1}$ обусловлено взаимодействием и рассталкиванием мод. Взаимодействие и рассталкивание мод зависят от соотношения между ω_1 и ω_2 при $H=0$, т. е. R и



Зависимость частот однородных внутриграничных колебаний от внешнего магнитного поля $h=H/H_{n1}$, $H \parallel \mathbf{b}$ в области ОФП второго рода в ДГ для различных значений $|K_1+2K_2|/R$: 0.1 (а), 2 (б), 20 (в).

Сплошная линия — квазипульсационная ($h < h_{n2}$) и пульсационная ($h \geq h_{n2}$) моды, штриховая линия — квазитрансляционная ($h < h_{n2}$) и трансляционная ($h \geq h_{n2}$) моды.



$|K_1+2K_2|$. Наибольшее рассталкивание имеет место при $\omega_2 \geq \omega_1$. На рисунке приведены зависимости частот для различных случаев. Явления, аналогичные существующим при $R \neq 0$, $H < H_{n2}$, имеют место и в однородно намагниченном диспрозиевом ортоферрите в магнитном поле $H \parallel \mathbf{a}$ [7], где также наблюдается взаимодействие и рассталкивание антиферромагнитной и квазиферромагнитной ветвей АФМР, обусловленные динамическим скачком магнитных подрешеток.

Обычно $|K_1+2K_2| \gg R \neq 0$ при этом вблизи точки ОФП щель квазипульсационной моды стремится к (18). Фазовая скорость линейных изгибных волн, распространяющихся вдоль ДГ, соответствующая квазитрансляционной моде, при $k_x, k_z \rightarrow 0$ теперь не стремится к нулю.

В условиях закрепления ДГ на дефектах или в градиентном магнитном поле может реализоваться случай $R \geq |K_1+2K_2|$. В предельном случае $R \gg |K_1+2K_2|$ и в длинноволновом приближении имеем

$$\omega_I = \omega_{1w} (1 + \omega_{II}^2 / 2\omega_{1w}^2), \quad \omega_{II} = \omega_{2w} (1 - \omega_{II}^2 / 2\omega_{1w}^2), \quad (19)$$

здесь ω_{2w} — определяется (14) и (15). В этом случае ОФП в ДГ происходит с уменьшением и обращением в нуль активации квазипульсационной моды, т. е. $\omega_{II}(k_x, k_z \rightarrow 0) \rightarrow 0$ при $H \rightarrow H_{n1}$.

Обращает на себя внимание несимметричное поведение собственных частот ДГ (см. рисунок) в магнитном поле в области ОФП. Такое поведение частот может привести к несимметричной температурной зависимости частоты и релаксации ядер в доменной границе.

4. Рассмотрим радиационное затухание [14] «линии» в ДГ РЗО при наличии внешнего магнитного поля $\mathbf{H} \parallel \mathbf{b}$. Основное состояние вертикальной «линии» в ДГ с поворотом $\mathbf{m} - l_0 = l_0 \cdot (\mathbf{n}_y \sin \varphi_0 + \mathbf{n}_z \cos \varphi_0) \sin \theta_0$, $\mathbf{m}_0 = m_0 \mathbf{n}_x \cos \varphi_0 \sin \theta_0$, где $\cos \varphi_0 = -th(x/\lambda_0)$, $\lambda_0 = \sqrt{A/(K_1 + \chi_L H_0^2)}$. В случае малых трансляционных колебаний линии при $H = 0$ отличны от нуля компоненты Δl_y , Δl_z , Δm_x , т. е. симметрия таких колебаний «линии» совпадает с симметрией ее основного состояния, а трансляционные колебания ДГ определяются компонентами Δl_x , Δl_y , Δl_z , Δm_x , Δm_z . Это приводит к тому, что при колебании линии по закону $X_0 = a_0 \cos \omega t$, где X_0 — координата центра «линии», под действием переменных магнитного и электрического полей будут генерироваться как объемные, так и внутриграничные спиновые волны. Например, осциллирующая «линия», оказывая на ДГ гироскопическое давление, является источником периодических изгибных колебаний доменной границы в РЗО, так же как и в ферромагнетиках. Возбуждение внутриграничных магнонов, соответствующих трансляционной моде, произойдет в «резонансном» случае, когда совпадут частоты колебаний «линии» с собственной частотой изгибных колебаний ДГ. Поток этих магнонов и будет определять декремент затухания «линии», названного радиационным [14]. В случае РЗО гироскопическое давление возникает во внешнем магнитном поле из-за динамического скоса магнитных подрешеток и равно [15]

$$F_g = (\pi M_0 H / \gamma H_E) \eta \cdot \dot{X}_0 \cdot \delta(X - X_0), \quad (20)$$

где $\eta = \pm 1$ — топологический заряд «линии». Декремент радиационного затухания «линии» определим как

$$\tau_r^{-1} = \dot{E}/E_0, \quad (21)$$

где $E_0 = (m_{\perp} + m_{\chi L})(a_0 \omega)^2 / 2$ — усредненная за период колебаний энергия «линии», $m_{\perp} = 2M_0 \delta_0 / \gamma^2 H_E \lambda_0$, $m_{\chi L} = (\pi M_0 H / \gamma H_E)^2 / 2 (\sigma_w k_0)^{1/2}$ — инерционная и гироскопическая массы «линии», $k_0 = R/\delta_0$, \dot{E} — мощность возбуждаемых трансляционных внутриграничных магнонов. В результате расчетов, следуя методике [14], имеем

$$\tau_r^{-1} = \frac{\omega_1 m_{\chi L}}{2(m_{\perp} + m_{\chi L})} \sum_n \frac{n \omega [\mathcal{J}_{n-1}(a_0 k_{\perp n}) + \mathcal{J}_{n+1}(a_0 k_{\perp n})]^2}{[(n\omega)^2 - \omega_1^2]^{1/2}}, \quad (22)$$

где $k_{\perp n} = c^{-1} [(n\omega)^2 - \omega_1^2]^{1/2}$, $\omega_1 = \omega_{1n}$ ($k_{\perp} = 0$), — ширина активационной щели, $\mathcal{J}_n(x)$ — функция Бесселя. При $\omega = \omega_1/n$ ($n=1, 2, 3, \dots$) в (22) существует расходимость, устраняемая при учете конечности времени жизни магнонов. В случае $\omega \gg \omega_1$ и при малой амплитуде колебаний линии $a\omega/c \ll 1$ из (22) получаем

$$\tau_r^{-1} \sim \omega_1 m_{\chi L} / 2(m_{\perp} + m_{\chi L}). \quad (23)$$

Декремент радиационного затухания сильно зависит от поля H , а при $H \rightarrow 0$ и $\tau_r^{-1} \rightarrow 0$. Если же $m_{\perp} \ll m_{\chi L}$, то τ_r^{-1} , как и в случае ферромагнетиков, определяется только шириной активационной щели в магнонном спектре. Сравним (23) с обычной магнитной релаксацией «линии» [15]

$$\tau_L^{-1} = m_{\perp} \tau_a^{-1} / (m_{\perp} + m_{\chi L}), \quad \tau_a^{-1} = 2\gamma \alpha H_E. \quad (24)$$

Используя обычные значения параметров РЗО — $\delta_0 \sim 10^{-6}$ см, $\gamma \sim 10^7 \text{ э}^{-1} \text{ с}^{-1}$, $H_E \sim 10^6 \text{ э}$, $c \sim 10^8 \text{ см/с}$ — и считая, что $H \sim 10^3 \text{ э}$, $\alpha \sim 10^{-4}$, $\lambda_0 \sim 10^{-5}$ см, получим $\tau_r^{-1} / \tau_L^{-1} \sim 1$. Таким образом, радиационное затухание «линии» с ростом поля может стать сравнимым с ее обычной магнитной релаксацией. Заметим, что выше мы пренебрегли излучением объемных и

внутриграницных, соответствующих пульсационной моде, спиновых волн. Это справедливо в области частот, удовлетворяющих соотношению $\omega_1 \ll \omega \ll \omega_2 \ll \omega_{1d}, \omega_{2d}$ (т. е. вдали от области ОФП в ДГ), где $R \ll K_1(H) \ll K_{ab}$.

Авторы выражают благодарность Е. А. Турову за полезные замечания.

С п и с о к л и т е р а т у р ы

- [1] Фарзтдинов М. М. Спиновые волны в ферро- и антиферромагнетиках с доменной структурой. М.: Наука, 1988. 240 с.
- [2] Tsang S. H., White R. L., White R. M. // J. Appl. Phys. 1978. V. 49. N 12. P. 6063—6074.
- [3] Барьяхтар В. Г., Иванов Б. А., Четкин М. В. // УФН. 1985. Т. 146. № 3. С. 417—458.
- [4] Шамсутдинов М. А., Фарзтдинов М. М., Халфина А. А. // ФТТ. 1989. Т. 31. № 2. С. 112—116.
- [5] Шамсутдинов М. А., Фарзтдинов М. М. // Тез. докл. Всес. конф. по физике магнитных явлений. Донецк, 1977. С. 251.
- [6] Андреев А. Ф., Марченко В. И. // УФН. 1980. Т. 130. № 1. С. 39—63.
- [7] Балбашов А. М., Марчуков П. Ю., Рудашевский Е. Г. // ЖЭТФ. 1988. Т. 94. № 6. С. 358—366.
- [8] Балбашов А. М., Волков А. А., Лебедев С. П. и др. // ЖЭТФ. 1985. Т. 88. № 3. С. 978—987.
- [9] Белов К. П., Звездин А. К., Кадомцева А. М., Левитин Р. З. Ориентационные фазовые переходы в редкоземельных магнетиках. М.; 1979. 320 с.
- [10] Залесский А. В., Саввинов А. М., Желудев И. С., Иващенко А. И. // ЖЭТФ. 1975. Т. 68. № 4. С. 1449—1459.
- [11] Shymczak R., Maziewski A., Piotrowski K. // J. Magn. and Magn. Mater. 1980. V. 15—18. N 3. P. 1505—1506.
- [12] Малоземов А., Слоизуски Дж. Доменные стенки в материалах с цилиндрическими магнитными доменами. М.; 1982. 384 с.
- [13] Туров Е. А., Шавров В. Г. // УФН. 1983. Т. 140. № 3. С. 429—462.
- [14] Звездин А. К., Попков А. Ф. // ФТТ. 1987. Т. 20. № 1. С. 268—270.
- [15] Фарзтдинов М. М., Шамсутдинов М. А., Екомасов Е. Г. // ФТТ. 1988. Т. 30. № 6. С. 1866—1868.

Башкирский государственный университет
Уфа

Поступило в Редакцию
11 мая 1989 г.
В окончательной редакции
18 октября 1989 г.